

波粒二象性:

$$\varepsilon = h \nu$$

$$p = \frac{h}{\lambda}$$

德布罗意波长:

$$\lambda = \frac{h}{p} = \frac{h}{m_0 v}$$

$$\lambda \approx \frac{h}{\sqrt{2m_0 E_k}}$$

坐标和动量的不确定关系:

$$\Delta x \cdot \Delta p_x \geq h$$

# 一、坐标和动量的不确定关系

严格推导可证明，在平均意义上

$$\Delta x \Delta p_x \geq \frac{\hbar}{2}$$

$$\Delta y \Delta p_y \geq \frac{\hbar}{2}$$

$$\Delta z \Delta p_z \geq \frac{\hbar}{2}$$

海森伯不确定关系

$$\hbar = \frac{h}{2\pi} = 1.0545887 \times 10^{-34} \text{ J} \cdot \text{s}$$

缝宽越小，粒子衍射性越明显，动量越不容易确定！



解释问题：要同时确定  $x$ 、 $P$ ，必定有一个范围  $\Delta x$ 、 $\Delta P$ 。

## 二、能量和时间的不确定关系

$$\Delta E \cdot \Delta t \geq \frac{\hbar}{2}$$

$\Delta t$  : 为原子处于该激发态的平均寿命

$\Delta E$  : 为原子激发态的能级宽度

原子在激发态的时间

$$\Delta t = 10^{-8} (s)$$

原子激发能级的宽度

$$\Delta E \geq \frac{\hbar}{2\Delta t} \approx 5.0 \times 10^{-27} (J)$$

原子光谱的谱线必有一定宽度

## 物理意义：

- 1) 微观粒子同一方向上的坐标与动量**不可同时**准确测量，微观粒子运动失去了“**轨道**”概念。
- 2) 不确定性的根源是微观粒子的“**波粒二象性**”，与仪器精度和测量方法的缺陷无关。
- 3) 对**宏观**粒子，因 $h$  很小，所以  $\Delta x \Delta p_x \rightarrow 0$  可视为位置和动量**能同时**准确测量。

**例：**试比较电子和质量为10g的子弹位置的不确定量，假设它们在x方向都以速度200m/s运动，速度的不确定度在0.01%内。

**解：**  $\Delta x \cdot \Delta p_x \geq \frac{\hbar}{2} \longrightarrow \Delta x = \frac{\hbar}{2\Delta p_x} = \frac{h}{4\pi\Delta p_x}$

电子：  $\Delta p_x = 0.01\% m v_x = 10^{-4} \times 9.1 \times 10^{-31} \times 200 = 1.8 \times 10^{-32}$

$$\Delta x = \frac{6.63 \times 10^{-34}}{4\pi \times 1.8 \times 10^{-32}} = 2.93 \times 10^{-3} m$$

子弹：  $\Delta p_x = 0.01\% m v_x = 10^{-4} \times 10 \times 10^{-3} \times 200 = 2.0 \times 10^{-4} kg \cdot m \cdot s^{-1}$

$$\Delta x = \frac{6.63 \times 10^{-34}}{4\pi \times 2.0 \times 10^{-4}} = 3.3 \times 10^{-30} m$$

**例、**光子的波长  $\lambda=3000\text{\AA}$ ，如果确定精确度为  $\Delta\lambda/\lambda=10^{-6}$ ，求此光子的位置不确定度。

**解：** 不确定度关系： $\Delta x \Delta p_x \geq \frac{\hbar}{2}$

$$\longrightarrow \Delta x \geq \frac{\hbar}{2\Delta p_x} = \frac{h}{4\pi\Delta p_x}$$

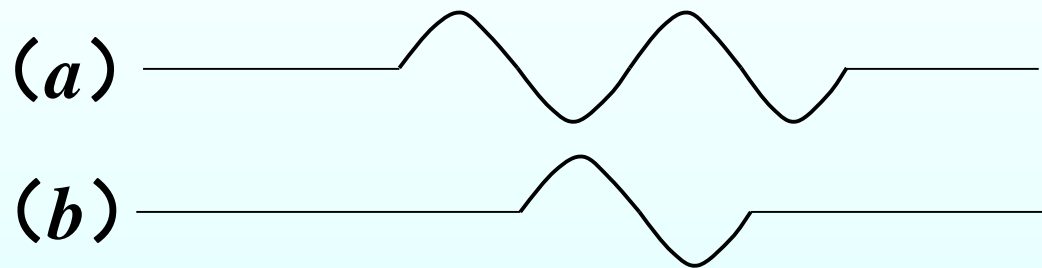
$$\because p = \frac{h}{\lambda} \quad \therefore |\Delta p| = \left| -\frac{h\Delta\lambda}{\lambda^2} \right| = \frac{h\Delta\lambda}{\lambda^2}$$

$$\Delta x \geq \frac{h}{4\pi\Delta p_x} = \frac{\lambda^2}{4\pi\Delta\lambda} = \frac{\lambda}{4\pi \frac{\Delta\lambda}{\lambda}} = 0.024m$$



## 思考：

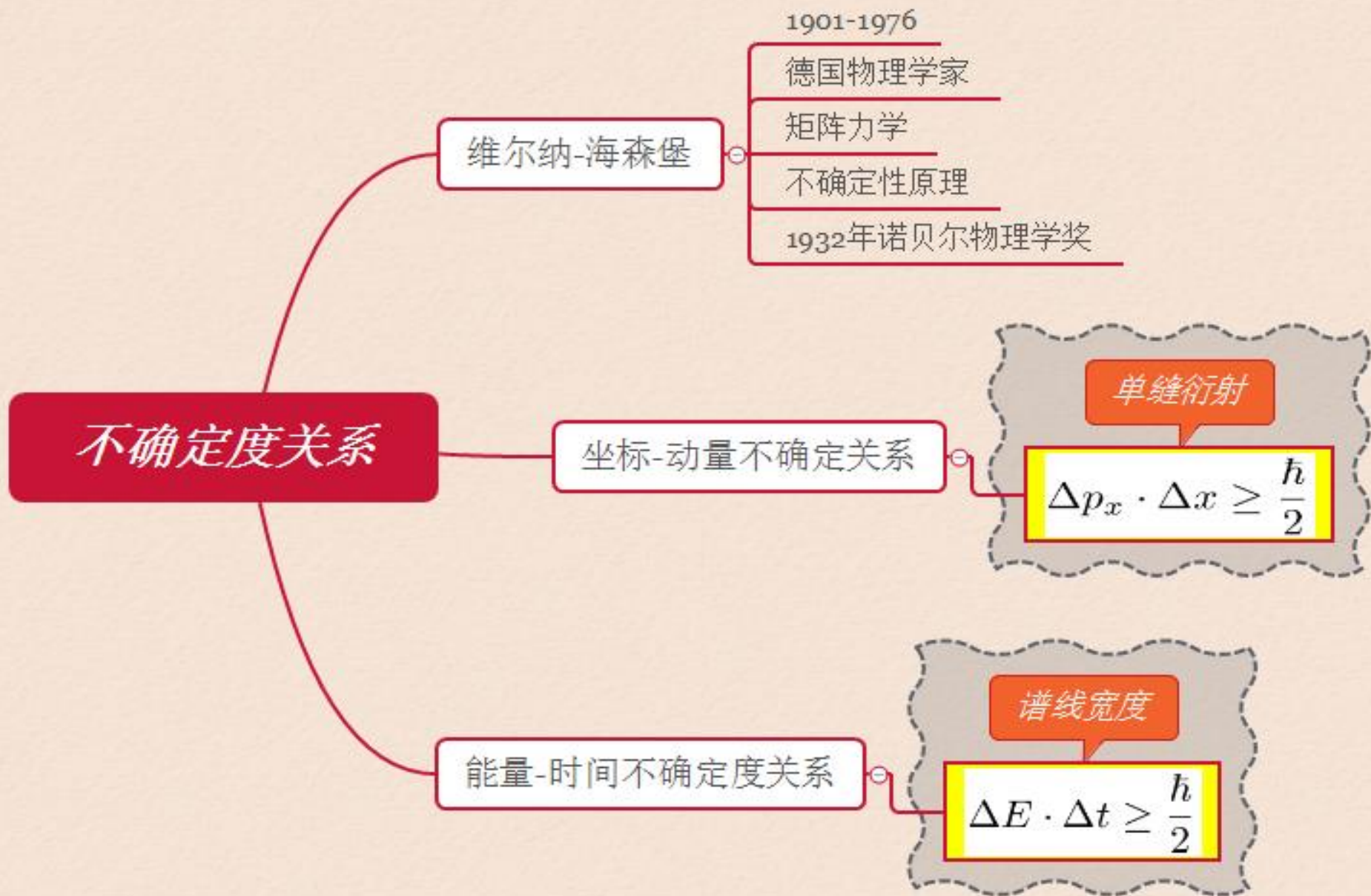
粒子 ( $a$ ) ( $b$ ) 的波函数分别如图所示，若用位置和动量描述他们的运动状态，两者中那个位置不确定度大，那个动量不确定度大？



由图可知 ( $a$ ) 粒子的位置不确定度大

$$\because \Delta x \Delta p_x \geq \frac{\hbar}{2}$$

因而 ( $b$ ) 粒子的动量不确定度大



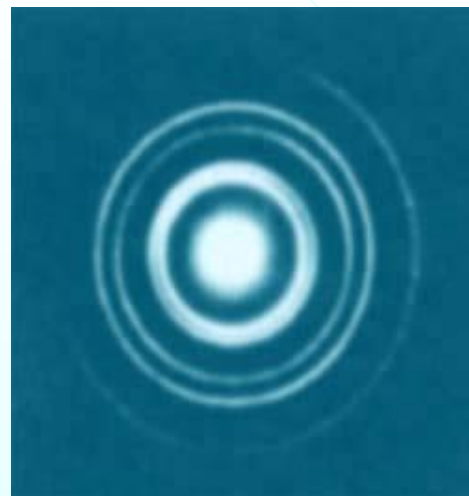


## 引入新课



问题：“薛定谔的猫”真能超越生死吗？

# 知识回顾



一切实物粒子具有波粒二象性



描述微观粒子运动状态如何描述？

# § 13-7 波函数及其统计诠释

## 一、宏观运动物体与微观运动粒子

	轨道	运动状态描述	运动基本方程
宏观运动物体	有	位矢、动量	牛顿第二定律
微观运动粒子	无	波函数	薛定谔方程

◆ 机械波  $y(x, t) = A \cos 2\pi \left( \nu t - \frac{x}{\lambda} \right)$

◆ 电磁波  $\begin{cases} E(x, t) = E_0 \cos 2\pi \left( \nu t - \frac{x}{\lambda} \right) \\ H(x, t) = H_0 \cos 2\pi \left( \nu t - \frac{x}{\lambda} \right) \end{cases}$

◆ 复数形式  $y(x, t) = y_0 e^{-i2\pi \left( \nu t - \frac{x}{\lambda} \right)}$



*E. Schrodinger*

Erwin Schrodinger  
1887—1961

- 自由粒子：
- 沿 $x$ 轴匀速直线运动，有确定动量、能量
  - 平面单色波

$$\Psi(x,t) = \Psi_0 e^{-i2\pi(vt - \frac{x}{\lambda})}$$

$$E = h\nu \quad p = \frac{h}{\lambda}$$

$$\Psi = \Psi_0 e^{-\frac{2\pi i}{h}(Et - px)}$$



$$\Psi = \Psi_0 e^{-\frac{i}{\hbar}(Et - px)}$$

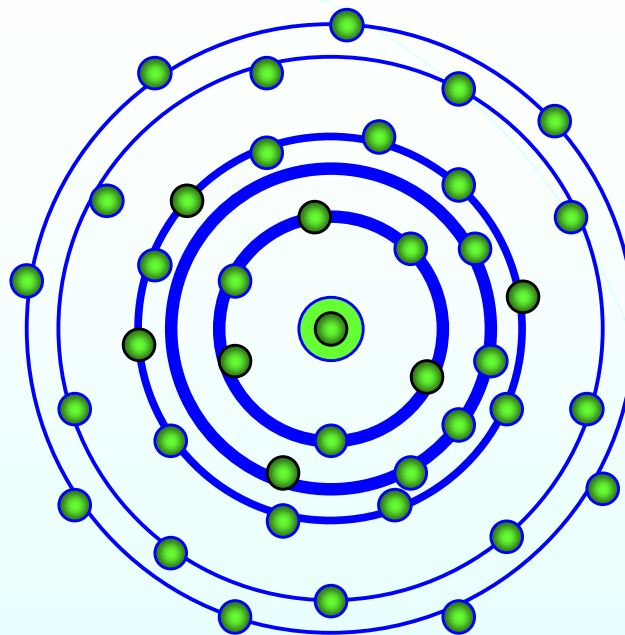
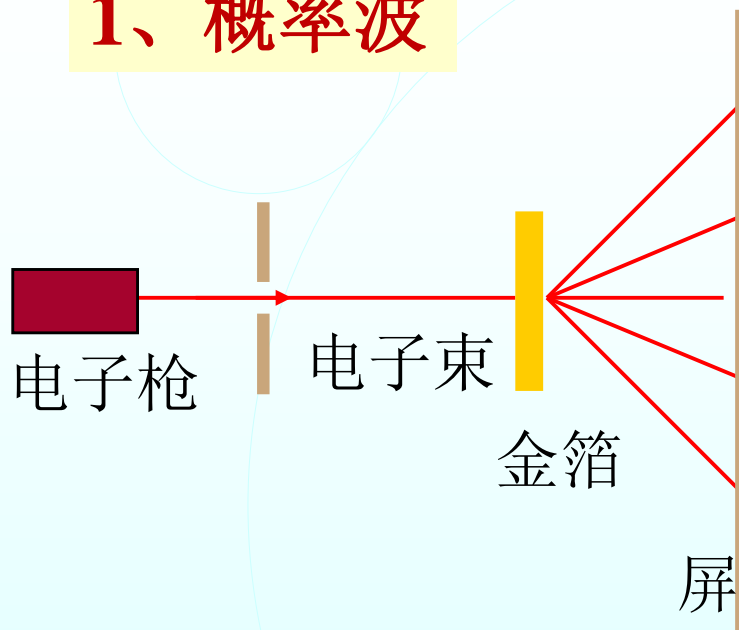
沿  $\vec{r}$  方向：

$$\Psi(\vec{r},t) = \Psi_0 e^{-\frac{i}{\hbar}(Et - \vec{p} \cdot \vec{r})}$$

自由粒子波函数

### 三、波函数的统计解释

#### 1、概率波

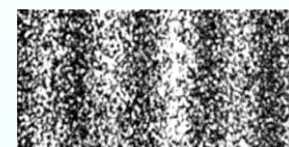


- 1926年：粒子在空间位置出现的概率具有波动性的分布.
- 1927年：德布罗意波是描述粒子在空间的概率分布，即“**概率波**”。

几个电子



数百个电子



数万个电子

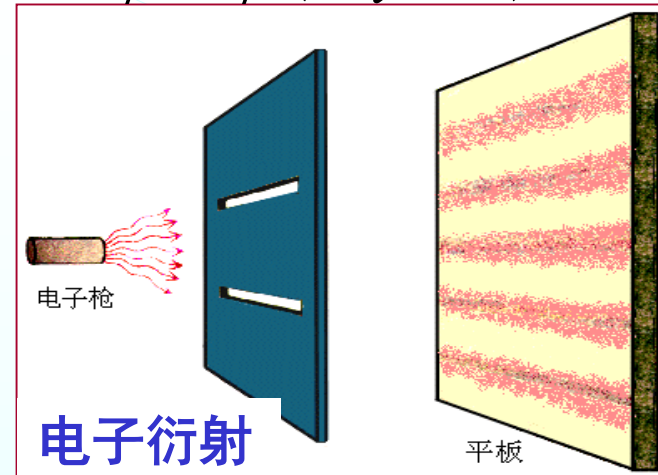
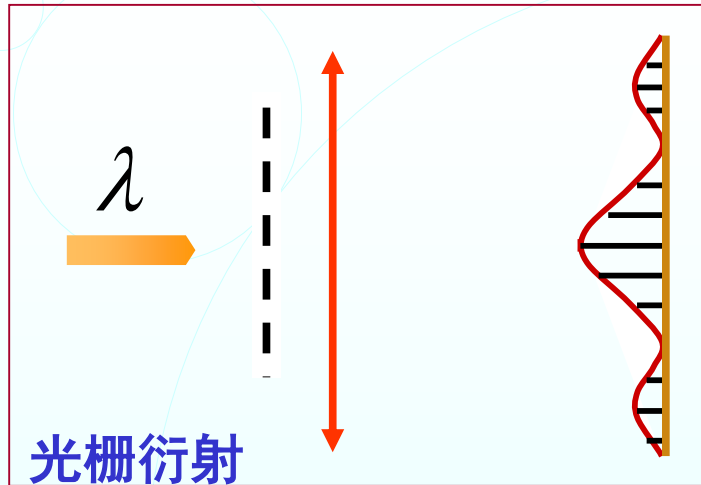


Max Born  
1882-1970

The Nobel Prize  
in Physics 1954

# 类 比

$$\psi = \psi(x, y, z, t)$$



波动观点:  $I \propto E_0^2$

粒子观点:  $I = Nh\nu \propto N$

$I$  大处: 光子在该处出现概率大

$$I \propto |\Psi|^2$$

$$I \propto N$$

电子在该处出现概率大

→ 粒子出现概率  $\propto |\Psi|^2$

→ 正实数

$$I \propto |\Psi|^2 = \Psi\Psi^*$$

## 2、玻恩的统计解释：

德布罗意波的强度与粒子在该处出现的概率  $W$  成正比

$$W \propto |\Psi|^2$$

某一时刻粒子出现在某点附近在体积元  $dV$  中的概率为：

$$dW = |\Psi|^2 dV = \Psi \Psi^* dV$$

概率密度  $|\Psi|^2$ ：

是粒子  $t$  时刻在空间某处单位体积内粒子出现的概率

$$|\Psi|^2 = \Psi \Psi^*$$



$$|\Psi|^2 = \Psi\Psi^*$$

## 波函数 $\Psi(x, y, z, t)$ 的统计解释:

- 波函数在某点的强度  $|\Psi|^2$  和该点找到电子的几率成正比
- 波函数是概率波
- 波函数满足态叠加原理:

$$\psi = c_1\psi_1 + c_2\psi_2 + \cdots + c_n\psi_n$$

## 3、波函数必须满足的条件

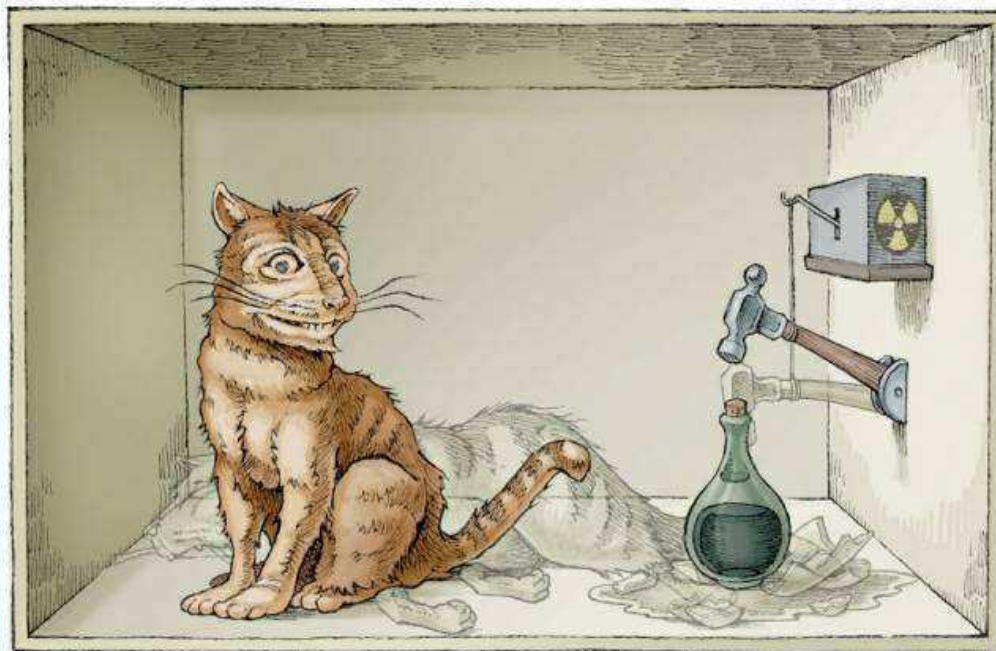
- 标准条件: 单值性、连续性、有限性
- 归一化条件:  $\int_V |\Psi|^2 dV = 1$





解释问题：

“薛定谔的猫”

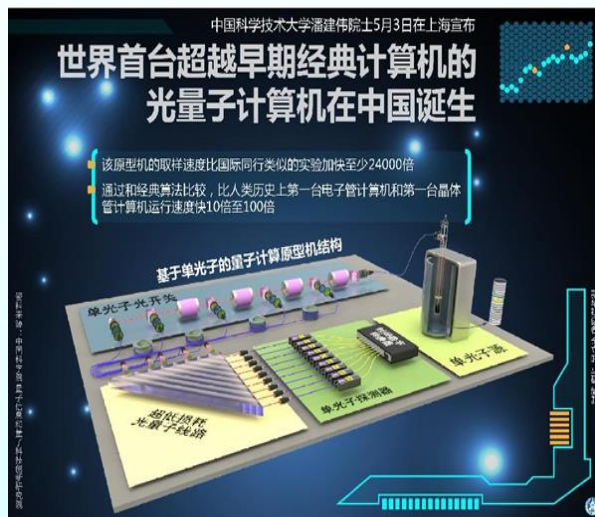
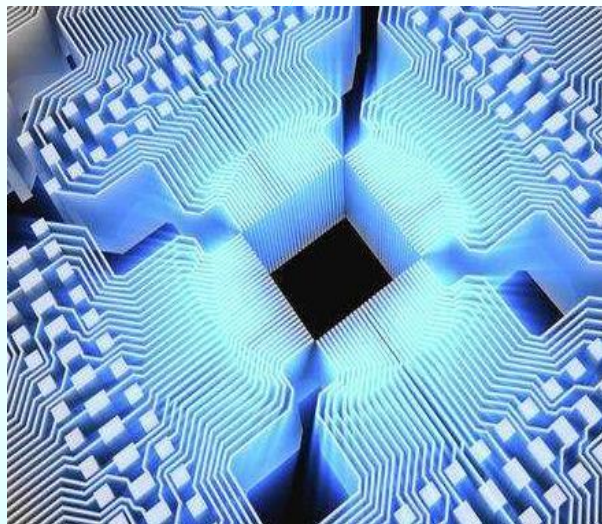


封闭盒子中的猫处于一种叠加态

此思想实验的目的：反驳哥本哈根学派对量子系统叠加态的理论

**量子计算机：**遵循量子力学规律，进行高速数学和逻辑运算、存储及处理量子信息的物理装置。

**应用的是量子比特, 可同时处在多个状态.**



- 2017年5月3日，中国科学技术大学潘建伟教授宣布，利用高品质量子点单光子源构建了**世界首台单光子量子计算机**。
- 2018年12月6日，首款量子计算机控制系统 OriginQ Quantum AIO在中国合肥诞生。

# 波函数

## 1 定义

描述粒子德布罗意波的函数

自由粒子波函数  $\psi = \psi_0 e^{-\frac{i}{\hbar}(Et - px)}$

## 2 统计解释

波动观点

条纹亮度对应于波的衍射强度

$$I \propto |\psi|^2 = \psi\psi^*$$

量子观点

条纹亮度对应于粒子出现的概率

$$I \propto |\psi|^2 = \psi\psi^* = \frac{dN}{Ndv}$$

## 3 条件

✓ 单值

✓ 有限

✓ 连续

▶ 归一化

## 一、薛定谔方程的引入

### 1、自由粒子的薛定谔方程（含时）

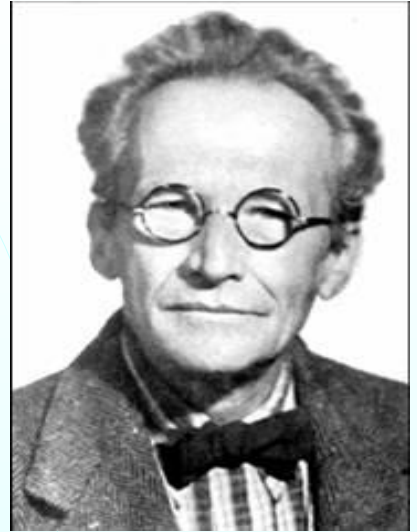
一维自由粒子的波函数

$$\Psi(x, t) = \psi_0 e^{-\frac{i}{\hbar}(Et - px)}$$

$$\frac{\partial \Psi}{\partial t} = -\frac{i}{\hbar} E \psi_0 e^{-\frac{i}{\hbar}(Et - px)} = -\frac{i}{\hbar} E \Psi$$

$$\frac{\partial^2 \Psi}{\partial x^2} = \left(\frac{ip}{\hbar}\right)^2 \psi_0 e^{-\frac{i}{\hbar}(Et - px)} = -\left(\frac{p}{\hbar}\right)^2 \Psi$$

$$i\hbar \frac{\partial \Psi}{\partial t} \longleftrightarrow E = \frac{p^2}{2m} \longleftrightarrow -\frac{\hbar^2}{2m} \frac{\partial^2 \Psi}{\partial x^2}$$



Erwin Schrödinger  
1887—1961

The Nobel Prize in  
Physics 1933

## 一维自由粒子含时薛定谔方程

$$i\hbar \frac{\partial}{\partial t} \Psi(x, t) = -\frac{\hbar^2}{2m} \frac{\partial^2 \Psi(x, t)}{\partial x^2}$$

## 2、三维自由粒子的薛定谔方程：

拉普拉斯算符：
$$\nabla^2 = \frac{\partial^2}{\partial x^2} + \frac{\partial^2}{\partial y^2} + \frac{\partial^2}{\partial z^2}$$

$$i\hbar \frac{\partial}{\partial t} \Psi(\vec{r}, t) = -\frac{\hbar^2}{2m} \nabla^2 \Psi(\vec{r}, t)$$

说明：

- 由态叠加原理，薛定谔方程是线性方程；
- 含有对时间的一阶偏导数，且要求波函数 $\psi$ 是复数。



## 二、势场中的薛定谔方程

对于势场  $U(\vec{r}, t)$  中的粒子，其能量

$$E = \frac{p^2}{2m} + U(\vec{r}, t)$$

势场中的含时薛定谔方程：

$$i\hbar \frac{\partial}{\partial t} \Psi(\vec{r}, t) = \left[ -\frac{\hbar^2}{2m} \nabla^2 + U(\vec{r}, t) \right] \Psi(\vec{r}, t)$$

薛定谔方程与经典波动方程之间的重要差别是出现了虚数  $i$

### 三、定态薛定谔方程

若势函数不显含时间, 即  $U(\vec{r}, t) = U(\vec{r})$

令  $\Psi(\vec{r}, t) = \psi(\vec{r}) f(t)$

代入 
$$i\hbar \frac{\partial}{\partial t} \Psi(\vec{r}, t) = \left[ -\frac{\hbar^2}{2m} \nabla^2 + U(\vec{r}) \right] \Psi(\vec{r}, t)$$

两边同时除以  $\psi(\vec{r}) f(t)$

→ 
$$i\hbar \frac{1}{f(t)} \frac{\partial f(t)}{\partial t} = \frac{1}{\psi(\vec{r})} \left[ \frac{-\hbar^2}{2m} \nabla^2 + U(\vec{r}) \right] \psi(\vec{r})$$

---

时间函数 = 空间函数 = 常量 (与  $x$ 、 $t$  无关)

$$i\hbar \frac{1}{f} \frac{\partial f}{\partial t} = E \implies \frac{\partial f}{\partial t} = \frac{1}{i\hbar} E f(t) = -\frac{i}{\hbar} E f(t)$$

$$\implies \left\{ \begin{array}{l} f(t) = C e^{-\frac{i}{\hbar} E t} \\ \Psi(\vec{r}, t) = \psi(\vec{r}) f(t) \end{array} \right. \implies \Psi(\vec{r}, t) = \psi(\vec{r}) e^{-\frac{i}{\hbar} E t}$$

$E$  --- 自由粒子的能量

定态薛定谔方程

$$\left[ \frac{-\hbar^2}{2m} \nabla^2 + U(\vec{r}) \right] \psi(\vec{r}) = E \psi(\vec{r})$$

$\psi(\vec{r})$  --- 定态波函数

或

$$\frac{-\hbar^2}{2m} \nabla^2 \psi(\vec{r}) + (U - E) \psi(\vec{r}) = 0$$



## 定态波函数性质：

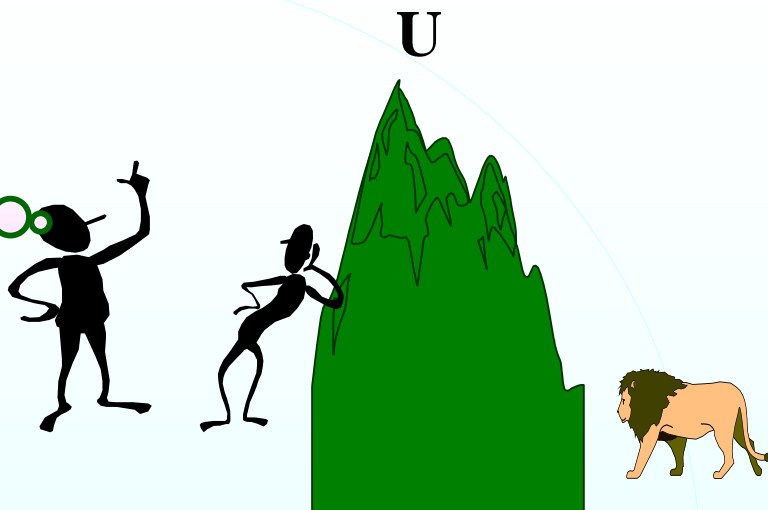
- 1) 能量  $E$  不随时间变化
- 2) 概率密度  $|\psi|^2$  不随时间变化

$E$ : 称为能量的本征值

$\psi(\vec{r})$ : 称为本征态波函数

## 引入新课

狮子的能量大于U才能出来!



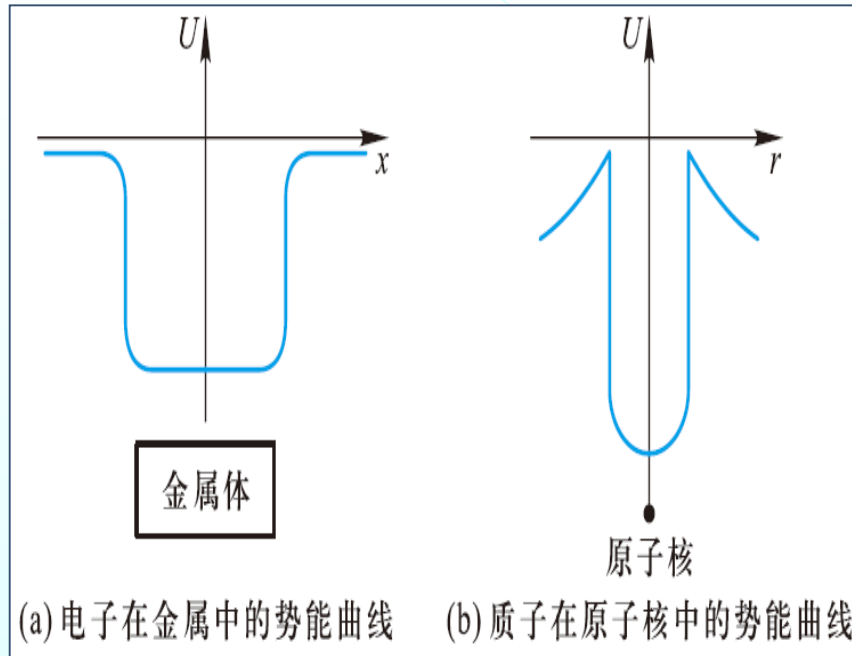
不好，狮子出来啦!

救命!



问题：为何狮子能穿山而过呢？

# § 13-9 一维定态薛定谔方程的应用



**理想模型：** 一维无限深方势阱

**理想反射壁：** 粒子与壁发生弹性碰撞，粒子不受力，动能不变。

# 一、一维无限深势阱问题

设粒子质量为  $m$

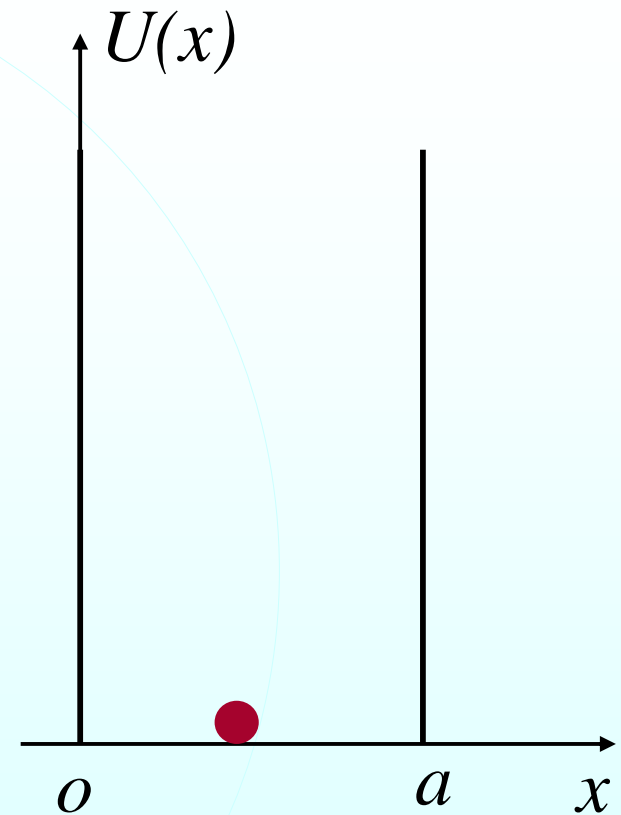
势能函数：

$$U(x) = \begin{cases} 0 & (0 \leq x \leq a) \\ \infty & (x < 0, x > a) \end{cases}$$

定态薛定谔方程：

$$\left[ -\frac{\hbar^2}{2m} \nabla^2 + U(\vec{r}) \right] \psi(\vec{r}) = E \psi(\vec{r})$$

$$\longrightarrow -\frac{\hbar^2}{2m} \frac{d^2 \psi}{dx^2} + U \psi = E \psi \quad \longrightarrow \quad -\frac{\hbar^2}{2m} \frac{d^2 \psi}{dx^2} = (E - U) \psi$$



无限深方势阱

阱外：(1)  $x < 0, x > a$

$$\because U = \infty \quad \therefore \psi_e(x) \equiv 0$$

$$-\frac{\hbar^2}{2m} \frac{d^2\psi}{dx^2} = (E - U)\psi$$

结论：阱外粒子出现的几率为零

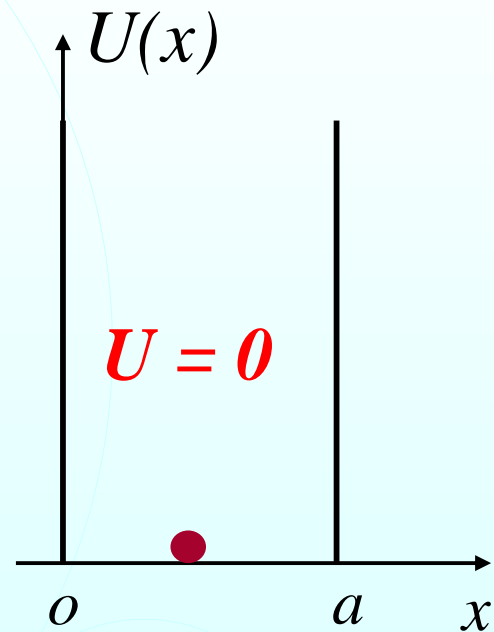
阱内：(2)  $0 < x < a$

$$-\frac{\hbar^2}{2m} \frac{d^2\psi_i}{dx^2} = E\psi_i \quad \longrightarrow \quad \frac{d^2\psi_i}{dx^2} = -\frac{2mE}{\hbar^2}\psi_i$$

$$\text{令 } k^2 = \frac{2mE}{\hbar^2} \quad \text{得} \quad \frac{d^2\psi_i}{dx^2} = -k^2\psi_i$$

$$\text{通解：} \quad \psi_i(x) = C \sin(kx + \delta)$$

常数  $C$  和  $\delta$  由波函数的自然条件确定



$$\psi_i(x) = C \sin(kx + \delta)$$

- 波函数在阱壁上的连续性条件

$$\psi(0) = \psi(a) = 0$$

$$\psi_i(0) = \psi_e(0) = 0 \longrightarrow C \sin \delta = 0 \longrightarrow \delta = 0$$

$$\psi_i(a) = \psi_e(a) = 0 \longrightarrow C \sin ka = 0$$

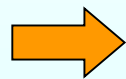
$$\longrightarrow ka = n\pi \longrightarrow k = \frac{n\pi}{a}$$

$$\longrightarrow \psi_i(x) = C \sin \frac{n\pi}{a} x \quad (n = 1, 2, \dots)$$

- 归一化常数  $C$  和定态波函数：

$$\int_{-\infty}^{+\infty} |\psi(x)|^2 dx = 1$$

$$\int_{-\infty}^{+\infty} |\psi(x)|^2 dx = \int_0^a C^2 \sin^2 \frac{n\pi x}{a} dx = 1$$



$$C = \sqrt{\frac{2}{a}}$$

定态波函数为：

$$\psi_i(x) = \begin{cases} \sqrt{\frac{2}{a}} \sin \frac{n\pi}{a} x & 0 \leq x \leq a \\ 0 & 0 > x, x > a \end{cases}$$

$$n=1, 2, 3, \dots$$

$$\psi_i(x) = C \sin \frac{n\pi}{a} x$$

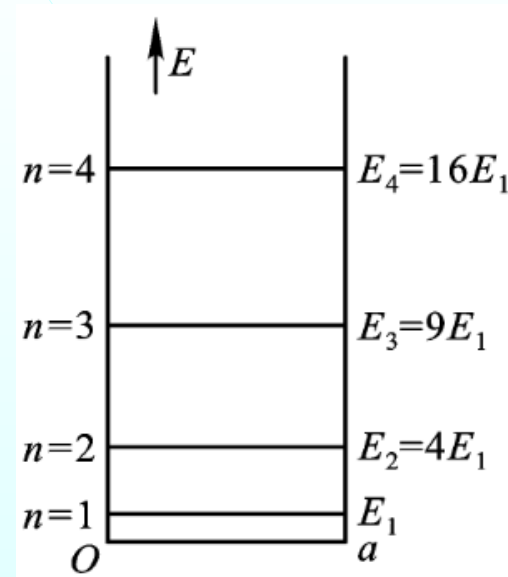
## (1) 粒子的能量量子化

$$\left. \begin{aligned} k^2 &= \frac{2mE}{\hbar^2} \\ k &= n\pi/a \end{aligned} \right\}$$

⇒  $E = \frac{n^2 \pi^2 \hbar^2}{2ma^2} = E_n$  能量本征值

$(n = 1, 2, \dots)$  能量量子数

能量量子化 (能级)





## (2) 粒子的最小能量不等于零

$$E_1 = \frac{\pi^2 \hbar^2}{2ma^2} > 0 \quad (\text{基态能、零点能})$$

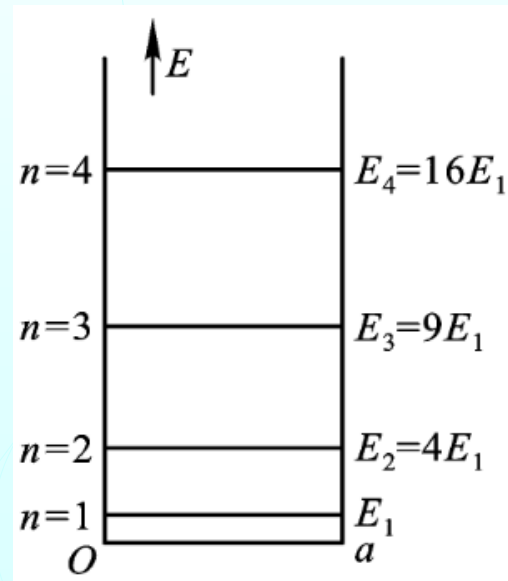
在阱内不可能有静止的粒子——波动性

零点能的存在与不确定度关系协调一致

“静止的波”无意义!



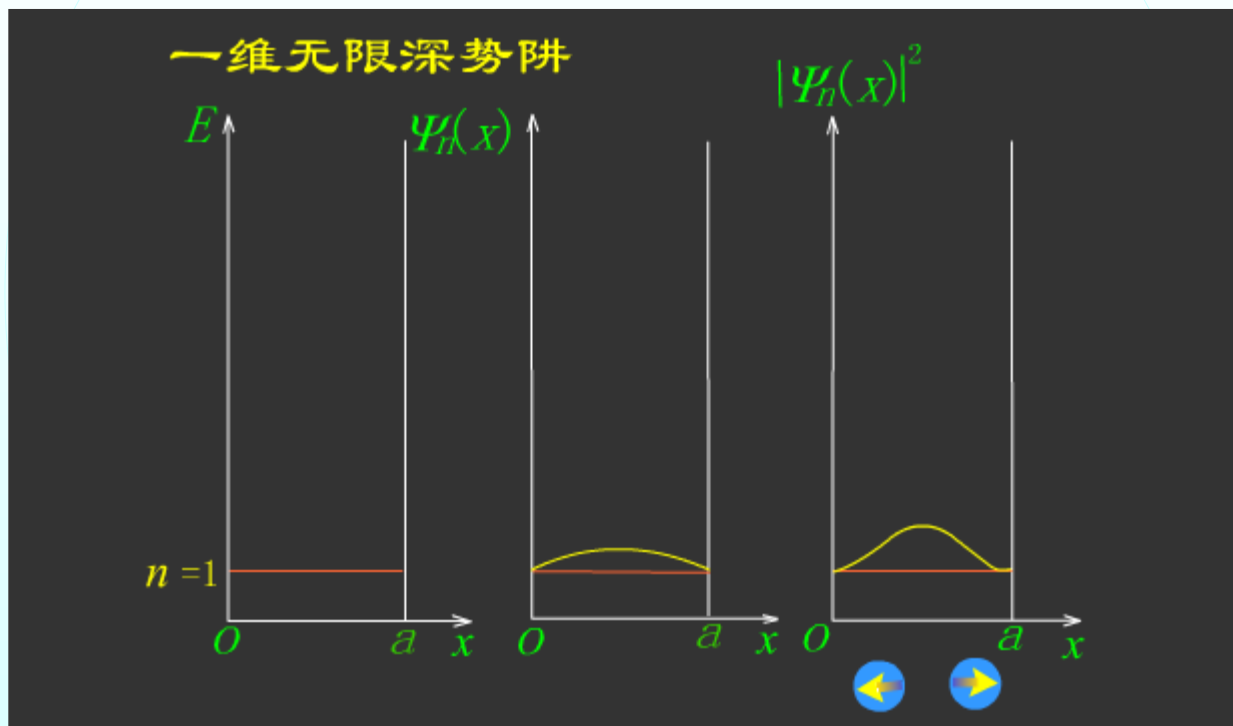
思考：能量间隔又如何呢？



### (3) 势阱中粒子出现的概率是不均匀的

$$\psi_n(x) = \sqrt{\frac{2}{a}} \sin \frac{n\pi}{a} x$$

$$\rho_n(x) = |\psi_n(x)|^2 = \frac{2}{a} \sin^2 \frac{n\pi x}{a}$$



当  $n \rightarrow \infty$  时，阱内的概率分布趋向均匀，量子  $\rightarrow$  经典。

**例、**试求一维无限深势阱中粒子概率密度最大值的位置。

**解：**一维无限深势阱中粒子的概率密度为

$$|\psi_n(x)|^2 = \frac{2}{a} \sin^2 \frac{n\pi}{a} x \quad n = 1, 2, 3, \dots$$

将上式对 $x$ 求导一次，并令它等于零

$$\left. \frac{d|\psi_n(x)|^2}{dx} \right|_{x=0} = \frac{4n\pi}{a^2} \sin \frac{n\pi}{a} x \cos \frac{n\pi}{a} x = 0$$

因为在阱内，即  $0 < x < a$ ， $\sin \frac{n\pi}{a} x \neq 0$

只有  $\cos \frac{n\pi}{a} x = 0$

$$\frac{n\pi}{a}x = (2k+1)\frac{\pi}{2} \quad k = 0, 1, 2, \dots, n-1$$

最大值的位置:

$$x = (2k+1)\frac{a}{2n}$$

例如:

$n = 1, k = 0$       最大值位置:  $x = \frac{1}{2}a$

$n = 2, k = 0, 1$       最大值位置:  $x = \frac{1}{4}a, \frac{3}{4}a$

$n = 3, k = 0, 1, 2$       最大值位置:  $x = \frac{1}{6}a, \frac{3}{6}a, \frac{5}{6}a$

概率密度最大值的数目和量子数  $n$  相等

相邻两个最大值之间的距离:

$$\Delta x = \frac{a}{n}$$

## 例、一维无限深方势阱中，运动粒子的状态用

$$\psi(x) = \frac{4}{\sqrt{a}} \sin \frac{\pi x}{a} \cos^2 \frac{\pi x}{a}$$

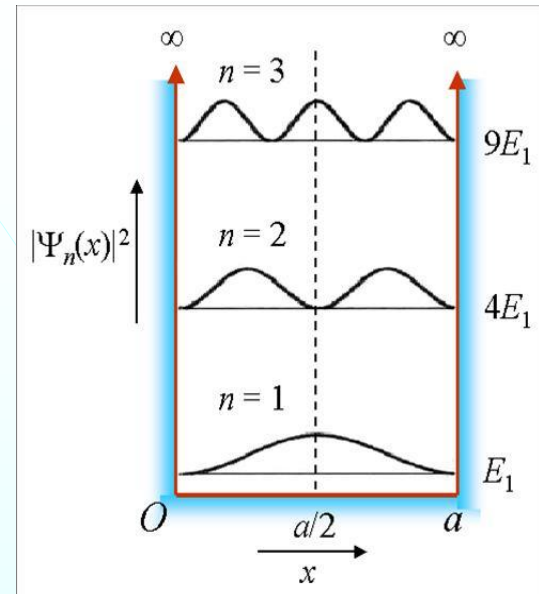
描述，求粒子能量的可能值及相应的概率。

**解：**粒子的本征函数和能量本征值为

$$\psi_n(x) = \sqrt{\frac{2}{a}} \sin \frac{n\pi}{a} x \quad E_n = \frac{\pi^2 \hbar^2}{2ma^2} n^2 = n^2 E_1$$

将波函数用本征波函数展开

$$\begin{aligned} \psi(x) &= \frac{4}{\sqrt{a}} \sin \frac{\pi x}{a} \cos^2 \frac{\pi x}{a} = \frac{2}{\sqrt{a}} \sin \frac{\pi x}{a} \left( 1 + \cos \frac{2\pi x}{a} \right) \\ &= \frac{1}{\sqrt{a}} \left( 2 \sin \frac{\pi x}{a} + 2 \sin \frac{\pi x}{a} \cos \frac{2\pi x}{a} \right) = \frac{1}{\sqrt{a}} \left( \sin \frac{\pi x}{a} + \sin \frac{3\pi x}{a} \right) \\ &= \frac{1}{\sqrt{2}} [\psi_1(x) + \psi_3(x)] \end{aligned}$$



$$\psi(x) = \frac{1}{\sqrt{a}} \left( \sin \frac{\pi x}{a} + \sin \frac{3\pi x}{a} \right) = \frac{1}{\sqrt{2}} [\psi_1(x) + \psi_3(x)]$$

### 1) 能量的可能值

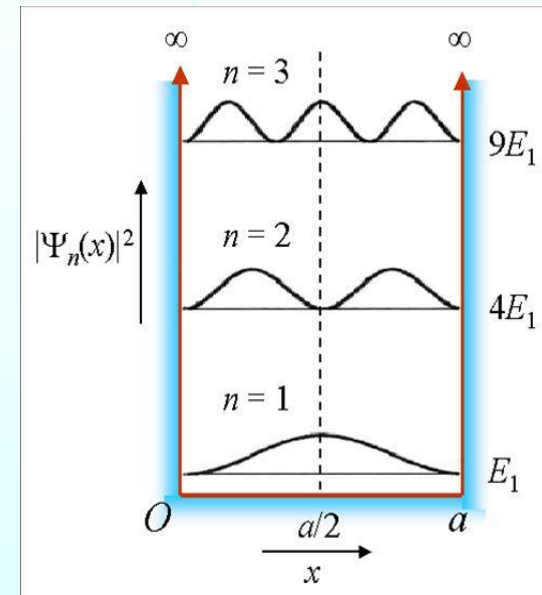
$$E_1 = \frac{\pi^2 \hbar^2}{2ma^2}$$

$$E_3 = \frac{9\pi^2 \hbar^2}{2ma^2}$$

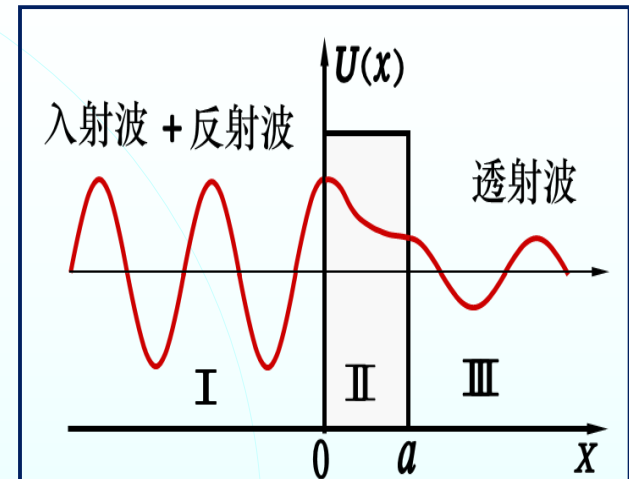
### 2) 相应的概率

$$\left( \frac{1}{\sqrt{2}} \right)^2 = \frac{1}{2}$$

粒子处于  $n=1$ 、 $3$  本征态上的几率均为  $1/2$



## 二、隧道效应



经典理论 { 1.  $E > U_0$  的粒子, 越过势垒.  
2.  $E < U_0$  的粒子, 不能越过势垒.

量子理论 { 1.  $E > U_0$  的粒子, 也存在被弹回的概率——反射波  
2.  $E < U_0$  的粒子, 也可能越过势垒——**隧道效应**

在粒子总能量低于势垒壁高的情况下, 有一定的概率穿透势垒.



## 解释问题

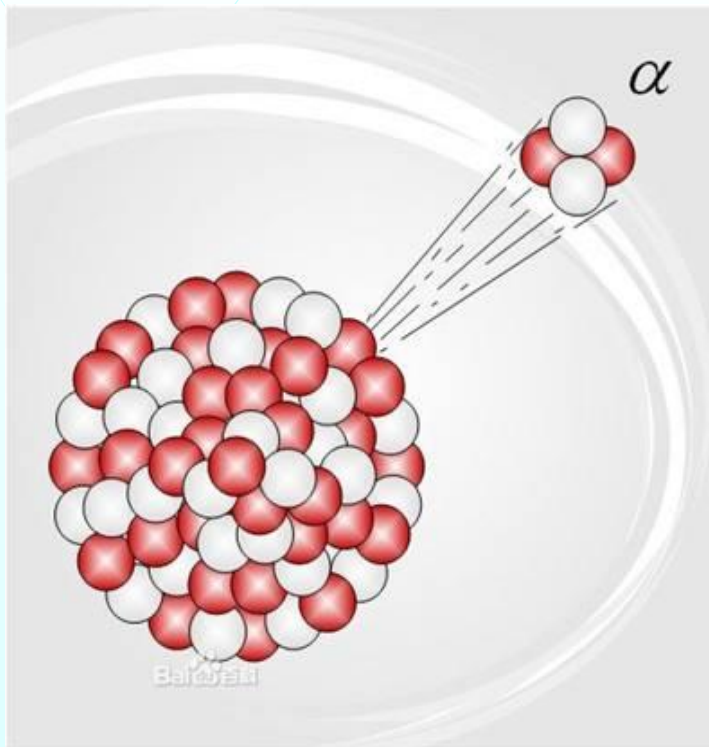


在量子世界里，狮子可隧穿垒壁

当势垒很宽，能量差很大时，  
穿透势垒的概率为零，与经典力学结果相符。

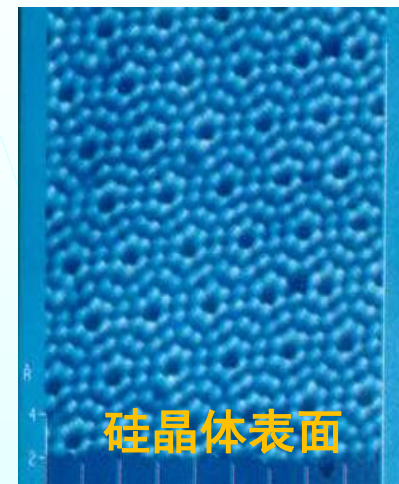
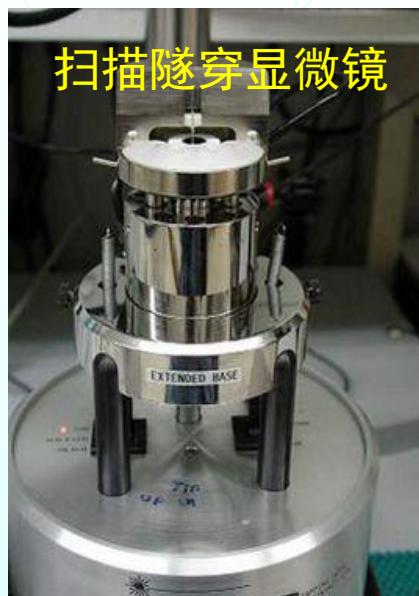


#### 1、解释原子核 $\alpha$ 衰变的产生机制



根据**隧道效应**， $\alpha$  粒子有一定几率穿透势垒跑出原子核。

## 2、扫描隧穿显微镜 (STM) (Scanning Tunneling Microscope)

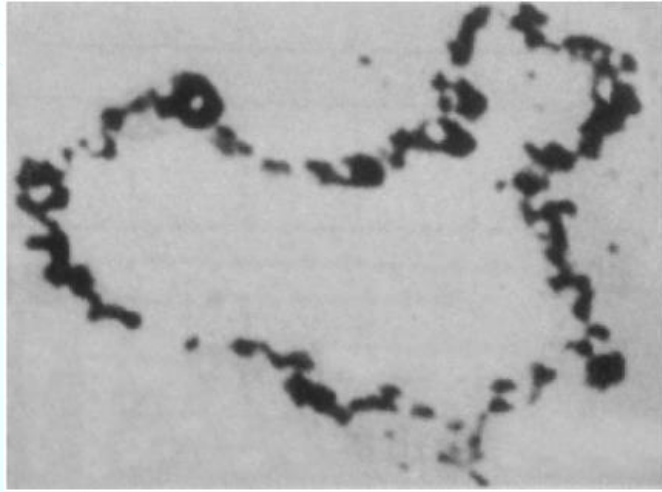


1986 Nobel Prize in Physics

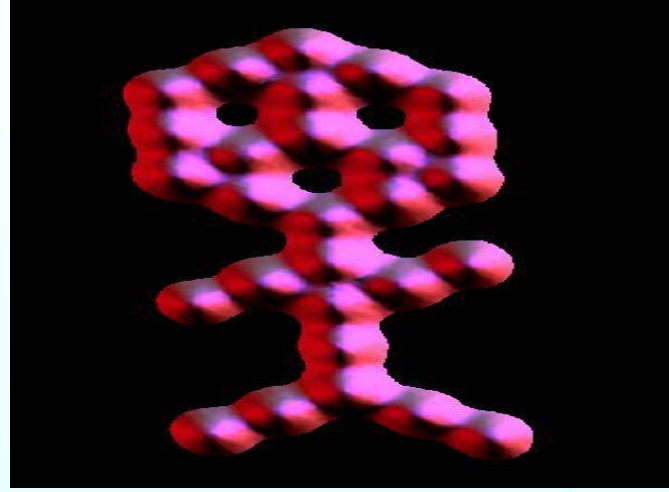
高分辨率： 横向0.1 nm，纵向0.01 nm，可分辨单个原子



思考：能否操纵原子？



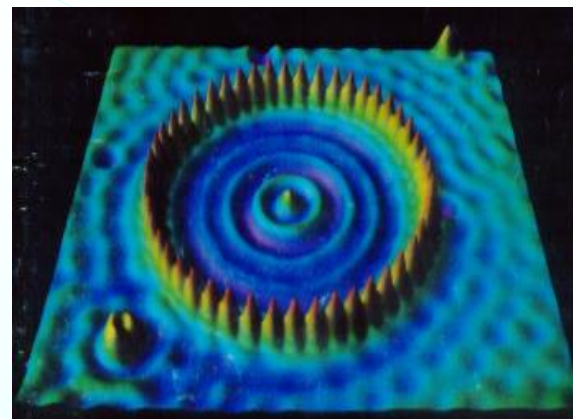
世界上最小的中国地图



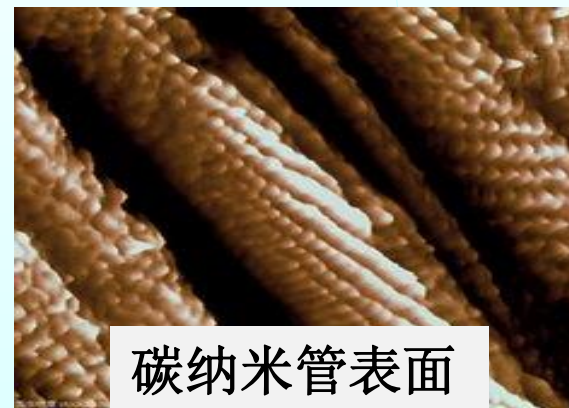
Carbon Monoxide  
on Platinum (111)

## ✓ 量子围栏

- Cu 表面镶嵌了48个 Fe 原子
- Fe 原子形成“电子围栏”
- 围栏中的电子形成驻波



- ✓ STM 可用于金属、半导体、绝缘体和有机物表面的研究;
- ✓ 研究材料科学、生命科学、纳米科学技术的强有力武器.



碳纳米管表面





科学家疯狂的研究方向：

通过原子扫描大脑，人类能获得新生吗？

